

(HUANJING KEXUE)

ENVIRONMENTAL SCIENCE

第36卷 第1期

Vol.36 No.1

2015

中国科学院生态环境研究中心 主办

斜学出版社出版



ENVIRONMENTAL SCIENCE

第36卷 第1期 2015年1月15日

目 次

2012 任直禾典刑业化学运流过程由长三角典刑战市 0. 求循识别
2013 年夏季典型光化学污染过程中长三角典型城市 O ₃ 来源识别 ············ 李浩, 李莉, 黄成, 安静宇, 严茹莎, ············· 黄海英, 王杨君, 卢清, 王倩, 楼晟荣, 王红丽, 周敏, 陶士康, 乔利平, 陈明华(1)
□□□□□□□□□□□□□□□□□□□□□□□□□□□□□□□□□□□□
厦门冬春季大气 VOCs 的污染特征及臭氧生成潜势 徐慧,张晗,邢振雨,邓君俊(11)近10年海南岛大气 NO ₂ 的时空变化及污染物来源解析 符传博,陈有龙,丹利,唐家翔(18)
U 10 午两用岛人气 NU_2 的时全受化及污染物术源胜价 ····································
稻草烟尘中有机碳/元素碳及水溶性离子的组成 ········· 洪蕾,刘刚,杨孟,徐慧,李久海,陈惠雨,黄柯,杨伟宗,吴丹(25)
气相色谱-脉冲氦离子化检测法(GC-PDHID)分析大气中分子氢(H ₂)浓度 ········· 栾天,方双喜,周凌晞,王红阳,张根(34)
小浪底水库影响下的黄河花园口站和小浪底站 pCO_2 特征及扩散通量····································
夏李中国乐海生源有机航化初的分布及具影响因系研究 ····································
基于 Landsat 8 影像估算新安江水库总悬浮物浓度 ····································
温斯珺河流或水体污染时全分并特征及污染源识别
人类活动影响下水化学特征的影响:以西江中上游流域为例 于奭,孙平安,杜文越,何师意,李瑞(72)
太湖梅梁湾不同形态磷周年变化规律及藻类响应研究
即阳冽讥枳物叮转化心类/万甲行性/义共为 任例大杀文化的响应 ··················· 光洪 把, 东郑郑, 优光全, 土全场(8/)
影响件人刊流域人型肽們列彻杆洛结构的环境囚丁分析····································
小宇生用过柱对果例机帜彻戫生物群洛结构的影响 · · · · · · · · · · · · · · · · · · ·
影响浑太河流域大型底栖动物群落结构的环境因子分析
水仕小很成小件的赋付形态及共时至文化
二峡库区中里农田小流域工模水的至间汀和特性 ************************************
二、医科·巴尔斯·伯克·巴尔斯·巴尔斯·巴尔斯·巴尔斯·巴尔斯·巴尔斯·巴尔斯·巴尔斯·巴尔斯·巴尔斯
小児余件刈二峡件区汨洛市工場中争本二中酸二丁酯内上復小前心迁移样放的影响 ····································
环境条件对三峡库区消落带土壤中邻苯二甲酸二丁酯向上覆水静态迁移释放的影响 宋娇艳,木志坚,王强,杨志丹,王法(143) 三峡库区消落带土壤中溶解性有机质(DOM)吸收及荧光光谱特征
二昳件区用洛市工展中治胜性有机灰(DUM)吸収及火兀兀盾行伍
高洁,江韬,李璐璐,陈雪霜,魏世强,王定勇,闫金龙,赵铮(151) 即此始长左依察卿左机物(CDOM)的二维芒米,亚行用乙公托。 用 集集 艾芒耳 白苔 张佐松 乙族 圉(162)
舟山渔场有色溶解有机物(CDOM)的三维荧光-平行因子分析 ············· 周倩倩,苏荣国,白莹,张传松,石晓勇(163)太原市小店污灌区地下水中多环芳烃与有机氯农药污染特征及分布规律 ····································
人房中小百行催区地下小中多叶万冠三有饥孰仪到行朱行征及万甲戍伴····································
厦门杏林湾水系表层沉积物中 PAHs 分析与风险评估
厦门各种冯尔系表层讥似初中 PAHS 分析 与风险评估
大冶湖滨岸带重金属水-土迁移特征与风险评价 … 张家泉,李秀,张全发,李琼,肖文胜,王永奎,张建春,盖希光(194)
快盐絮凝法从阳宗海湖水中除砷研究与现场扩大试验····································
状盆系凝冶从阳示海湖水中陈岬湖先马块坳10人试验 ····································
以相与化肿泪入肿直动与化胶姆皿泪刃形 A 的研究
现似氧化物化百物同双氧化阵肝归侯从即 A 的明九
一件约不级不足形映列不中四个系的吸附切允
铋银氧化物混合物高效氧化降解四溴双酚 A 的研究
网组取·同项工发音评形成机闸及对三氧石种的规则
是一个一个一个一个一个一个一个一个一个一个一个一个一个一个一个一个一个一个一个
FISH-NanoSIMS 技术在环境微生物生态学上的应用研究
微囊藻毒素-LR 对恶臭假单胞菌细胞活性和表面特性的影响 邓庭进,叶锦韶,彭辉,刘芷辰,刘则华,尹华,陈烁娜(252)
微生物除臭剂的筛选、复配及其除臭条件的优化
舟山青浜岛水体及海产品中有机氯农药的分布和富集特征
·····································
四川凉山藏蠡青小年斗发中名氯醛苯污染水平的研究
铜
铜、毒死蜱单一与复合暴露对蚯蚓的毒性作用
洋河流域不同土地利用类型土壤硒(Se)分布及影响因素 ··· 商靖敏,罗维,吴光红,徐兰,高佳佳,孔佩儒,毕翔,程志刚(301)
不同钝化剂对重金属污染土壤稳定化效应的研究 吴烈善,曾东梅,莫小荣,吕宏虹,苏翠翠,孔德超(309)
畜禽粪便有机肥中 Cu、Zn 在不同农田土壤中的形态归趋和有效性动态变化 … 商和平,李洋,张涛,苏德纯(314)
华南某市生活垃圾组成特征分析 张海龙,李祥平,齐剑英,陈永亨,方建德(325)
生物沥浸耦合类 Fenton 氧化调理城市污泥 刘昌庚,张盼月,蒋娇娇,曾成华,黄毅,徐国印(333)
基于平面波导型荧光免疫传感器的双酚 A 检测适用性研究 ················ 徐玮琦,张永明,周小红,施汉昌(338)
一种新型"Turn-on"荧光探针用于硫化氢可视化检测····································
典型黄土区油松树干液流变化特征分析 张涵丹,卫伟,陈利顶,于洋,杨磊,贾福岩(349)
利用巨藻发酵联产氢气与挥发性有机酸的研究 赵晓娴, 范晓蕾, 郭荣波, 薛志欣, 杨智满, 袁宪正, 邱艳玲(357)
人工纳米颗粒在水体中的行为及其对浮游植物的影响 李曼璐,姜玥璐(365)
《环境科学》征订启事(251) 《环境科学》征稿简则(294) 信息(236,243,273,300)
(· · · · · · · · · · · · · · · · · · ·

基于 Landsat 8 影像估算新安江水库总悬浮物浓度

张毅博^{1,2},张运林^{2*},查勇¹,施坤²,周永强^{2,3},王明珠^{2,3}

(1. 南京师范大学虚拟地理环境教育部重点实验室,江苏省地理信息资源开发与利用协同创新中心,南京 210023; 2. 中国科学院南京地理与湖泊研究所湖泊与环境国家重点实验室,南京 210008;3. 中国科学院大学,北京 100049)

摘要:总悬浮物(total suspended matter, TSM) 直接决定着水下光场分布,进而影响水体的初级生产力,其浓度也是水质和水环境评价的重要参数之一. 本研究构建了基于 Landsat 8 影像数据的较为清洁的新安江水库 TSM 的遥感估算模型,并给出了该水体 TSM 浓度的空间分布特征. 结果表明,对该水体 TSM 浓度较为敏感波段为 Landsat 8 第二、三和八波段,线性相关的决定系数分别为 0.37、0.51 和 0.42. 然而,以上任何一个波段都无法单独用于准确地提取该区 TSM 浓度,而利用以上 3 个波段构建的多元回归模型能够给出较为准确的估算结果,模型决定系数为 0.92,平均相对误差为 11%,均方根误差为 0.16 mg·L⁻¹. 新安江水库 TSM 浓度整体较低,变化范围为 $0.04 \sim 24.54$ mg·L⁻¹,平均浓度为 2.19 mg·L⁻¹. 高浓度部分位于湖的边缘区以及一些湖湾枝杈,如:枫树岭水域、汾口水域、威坪水域、安阳水域、大墅水域、临岐水域等,主要是受入湖河流以及邻近水域采砂活动的影响。因此研究认为利用 Landsat 8 数据的 3 个波段,采用多元回归模型能够较好地估算较清洁水体的 TSM 浓度.

关键词:Landsat 8; 新安江水库; 总悬浮物; 经验方法; 遥感估算

中图分类号: X87 文献标识码: A 文章编号: 0250-3301(2015)01-0056-08 DOI: 10.13227/j. hjkx. 2015. 01.008

Remote Sensing Estimation of Total Suspended Matter Concentration in Xin'anjiang Reservoir Using Landsat 8 Data

ZHANG Yi-bo^{1, 2}, ZHANG Yun-lin^{2*}, ZHA Yong¹, SHI Kun², ZHOU Yong-qiang^{2, 3}, WANG Ming-zhu^{2, 3}

(1. Jiangsu Center for Collaborative Innovation in Geographical Information Resource Development and Application, Key Laboratory of Virtual Geographical Environment, Ministry of Education, Nanjing Normal University, Nanjing 210023, China; 2. State Key Laboratory of Lake Science and Environment, Nanjing Institute of Geography and Limnology, Chinese Academy of Sciences, Nanjing 210008, China; 3. University of Chinese Academy of Sciences, Beijing 100049, China)

Abstract: Total suspended matter (TSM) plays an important role in determining the underwater light climate, which then affects the lake primary production. Therefore, TSM concentration is an important parameter for lake water quality and water environment assessment. This study developed an empirical estimation model and presented the spatial distribution of TSM concentration for the relatively clear Xin'anjiang Reservoir based on the in situ ground data and the matching Landsat 8 data. The results showed that Band 2, Band 3 and Band 8 of Landsat 8 data were the sensitive bands of TSM estimation in Xin'anjiang Reservoir with the linear determination coefficients of 0. 37, 0. 51 and 0. 42, respectively. However, the linear models using Band 2, Band 3 and Band 8 could not give a reasonable and satisfying estimation accuracy. Therefore, a three-band combination estimation model of TSM concentration using Band 2, Band 3 and Band 8 was calibrated and validated to improve the TSM concentration estimation accuracy. The determination coefficient, mean relative error and root mean square error were 0.92, 11% and 0.16 mg·L⁻¹, respectively for the three-band combination model. Overall, the TSM concentration was relatively low in Xin'anjiang Reservoir, ranging from 0. 04 to 24. 54 mg·L⁻¹ with a mean value of 2. 19 mg·L⁻¹. Higher TSM concentrations were distributed in the nearshore zones and small bays such as Fengshuling bay, Fenkou bay, Weiping bay, Anyang bay, Dashu bay and Linqi bay, which were affected by input rivers rainfall and human dredging activity. Therefore, this study demonstrated that the combination of three bands using Landsat 8 data could be used to estimate the TSM concentration in the relatively clear Xin'anjiang Reservoir.

Key words: Landsat 8; Xin'anjiang Reservoir; total suspended matters; empirical method; remote sensing estimation

水体中的总悬浮物(total suspended matter, TSM)对光具有强烈的吸收和散射作用,悬浮物浓度的分布直接决定着光在水体中的传播,从而影响着水体的透明度、真光层深度等光学参数^[1,2],进而影响湖泊热量收支、水生生物的生长和水体初级生产力^[3].在遥感卫星发射之前,TSM浓度只能通过巡航采样获得,传统的处理方法缺乏空间性和实时性

以致测得的湖泊环境与实际情况相距较大[4]. 然

收稿日期: 2014-07-22; 修订日期: 2014-08-25

基金项目: 国家自然科学基金项目(41325001); 江苏省杰出青年基金项目(BK2012050); 中国科学院南京地理与湖泊研究所"—三五"重点布局项目(NIGLAS2012135003); 江苏省自然科学基金项目(BK20141515)

作者简介: 张毅博(1990~),男,硕士研究生,主要研究方向为湖泊 环境遥感,E-mail;hbxgzyb@126.com

^{*} 通讯联系人, E-mail: ylzhang@ niglas. ac. cn

而,随着湖泊水色遥感的发展,TSM 浓度的空间分布和动态变化可以通过全球覆盖的遥感技术加以监测.因此,利用遥感卫星监测 TSM 浓度变化已经获得了广泛的关注并且在湖泊水色领域已经取得诸多进展^[5].归纳起来利用遥感估算 TSM 的方法主要有基于分析的方法^[6~8]、基于半分析的方法^[9~13]和基于经验的方法^[14~17],而目前以经验和半分析方法为主.分析方法的机制较为明确,但较为复杂^[18];半分析的方法会因为受到光学测量误差的影响而限制此法的应用^[12];经验的方法简单易于构建,而且在某种程度上可以降低大气校正误差带来的影响^[14].

国内外基于经验方法对 TSM 浓度的研究多集 中在较高浓度水体. 马荣华等[19]利用 Landsat ETM 数据的算术组合 ETM4/ETM1 较好地估测了太湖总 悬浮物浓度; 邬明权等[20] 以 TM2、TM3 和 TM3/ TM2 为自变量通过最小二乘法拟合得到的指数模 型可以有效反演渤海总悬浮浓度;温小乐等[21]构 建了以 TM3 + TM2 为自变量的闽江下游悬浮物估 算模型,相关系数达到 0.8; 管义国等[22] 以 Landsat TM/ETM + 为数据源对其3、4 波段进行加法运算估 算巢湖悬浮物浓度; Dekker 等[23] 利用 Landsat TM 的2、3波段为变量对弗里斯兰湖区(Fluessen湖泊、 Sneekermeer 湖 泊、 Groote Brekken 湖 泊、 Koevordermeer 湖泊、Tjeukemeer 湖泊和 Slotermeer 湖泊) 总悬浮浓度进行估算. 这些湖泊年均 TSM 浓 度分别为(61 ± 50)、(15 ± 10)、(25 ± 12)、(44 ± 16)和(13~89)mg·L⁻¹. 以上学者通过比较不同悬 浮物浓度的光谱曲线表明: 在690~900 nm 波段, 水体反射率随悬浮物含量的增加而单调增加,适合 用来监测悬浮物. 但对于较清洁的水体,反射率在 该位置的变化并不明显,因而限制其方法的进一步 应用. 到目前为止, Landsat 卫星数据是应用最多的 遥感数据,它所提供的高空间分辨率影像可以很好 地满足内陆水体的遥感探测要求,尤其是于2013年 2月发射的 Landsat 8 卫星因其波段更多,波段划分 更加精细,每个像元行的像元数目更多等特点很好 地继承了 Landsat 系列数据的延续性.

新安江水库又名千岛湖,因水质清澈闻名于世,有学者研究表明,新安江水库全湖平均水质可达 I 类水质标准^[24].随着人口压力增加、社会经济发展及资源的开发利用,我国水库水质环境面临着日益严峻的挑战,作为水质较好的一些水库未来将更多地成为饮用水源地.新安江水库作为钱塘江的重要

水源,对保障钱塘江中下游的水域生态安全及未来长三角饮用水供水安全起着极其重要的作用,因此迫切需要加强新安江水库水质监测和评价研究.本文以新安江水库为研究区域,结合水质采样数据和Landsat 8 遥感影像数据,构建新安江水库 TSM 浓度遥感估算模型,分析新安江水库 TSM 的空间变化及影响因素.

1 数据采集与处理

1.1 研究区及野外采样

新安江水库位于中国浙江省杭州市西南部的淳安县和建德市境内,流域面积达10 442 km²,常年水位在108 m左右,主要包括浙江省的淳安县及安徽黄山地区的歙县、休宁县等,入库河流30余条,在设计水位108 m时水面面积为573 km²,蓄水库容178.4×108 m³. 库区纵长150 km,最宽处10 km,最大水深100 m,平均水深30.44 m,岸线长度1406 km,有1078个岛屿. 新安江水库属亚热带湿润季风气候,多年平均气温17.8℃,平均降水量1489.0 mm,平均蒸发量1355.1 mm,多年入库净流量94.1×108 m³,出库水量91.07×108 m³,水体交换周期长达2a,街口断面以上集雨面积6000 km²,入库流量约占总流量的60% [25].

于 2013 年 11~12 月 Landsat 8 卫星过境时进行了 2 次野外同步实验. 其中 11 月 12 日布设了 8 个站点,11 月 29 日至 12 月 1 日全湖采集 60 个水样(图 1). 采样时记录每个样点的经纬度、风速、风向等信息. 将水样低温冷藏,并当天送到实验室.

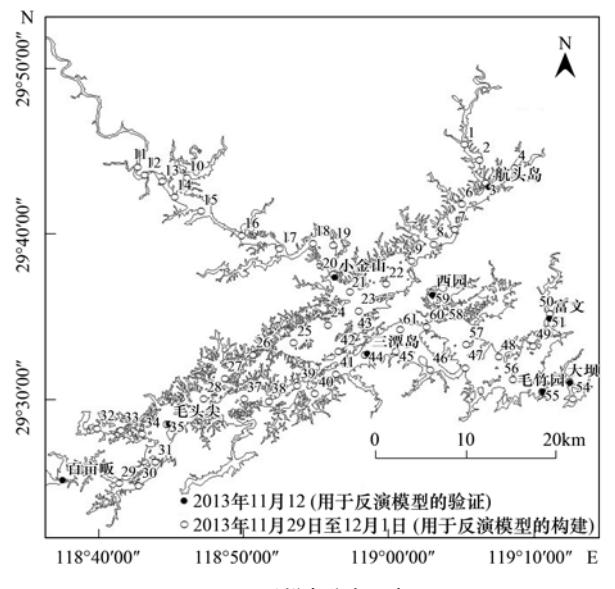


图1 采样点分布示意

Fig. 1 Distribution of sampling sites in Xin'anjiang Reservoir

总悬浮物浓度采用常规的干燥、烘烧、称重法(GB 11901-89 标准)测定,将 Whatman GFF 滤膜在 105℃温度下烘干称重,然后过滤一定体积的水样在 105℃温度下重新烘干称重,进而计算得到总悬浮物 浓度[26].

1.2 遥感影像数据

考虑到新安江水库湖口狭窄的特点,中低分辨 率遥感影像的像元尺度比新安江水库某些湖口的宽 度还大,这就导致了大量混合像元的出现,从而造成 反演精度的降低,因此需要基于较高空间分辨率的 遥感影像来构建适合清洁内陆水体的 TSM 遥感估 算模型. Landsat 8 是太阳同步轨道卫星,轨道高度 为705 km,轨道倾角是98.2°,每98.9 min 绕地球一 圈,其时间和空间分辨率与 Landsat 5/Landsat 7 一 致. 与 Landsat 5/Landsat 7 相比, Landsat 8 涵盖的波 段更多、波段划分更加精细,每景卫星数据的下行 速率也由原来的150 Mbps 提高到441 Mbps,数据总 量是以往的3倍. 本研究选择与野外采样时间准同 步的两景 Landsat 8 数据分别用于模型的构建和验

证,其中与2013年11月12日对应的准同步卫星过 境时间为 2013 年 11 月 15 日,与 2013 年 11 月 29 日至12月1日对应的准同步卫星过境时间为2013 年12月1日,2013年11月29日至12月1日的60 个样点用于模型的构建,2013年11月12日的8个 样点用于模型的验证,由于新安江水库水体总悬浮 物浓度随时间变化并不是很大,本研究采用的卫星 过境时间和采样时间差以及两次采样时间差是可以 接受的. 对获取的影像进行辐射定标和大气校正计 算,辐射定标的目的是将遥感影像的 DN (digital number) 值转换为辐亮度; 大气校正是为了消除大 气吸收和散射的影响,本研究采用 6S 模型[27] 对影 像进行大气校正,将辐亮度转换为地物表面的遥感 反射率^[28]. 6S 模型是目前世界上发展较为完善的 大气校正方法之一,非常适合可见光-近红外波段的 数据,很多研究表明该模型的校正结果比其他模型 的高,且计算时间快^[29],表1给出了利用6S模型对 2013年12月1日 Landsat 8 影像的第二、三和八波 段进行大气校正的参数设置.

表 1 利用 6S 模型对 2013 年 12 月 1 日 Landsat 8 影像的第二、三和八波段进行大气校正步骤

Table 1 Example 6S input parameters from the band 2, band 3 and band 8 of Landsat 8 scene on December 1st, 201	a the band 2, band 3 and band 8 of Landsat 8 scene on December 1st, 2013
--	--

步骤 68 模型参数名称		6S 模型参数值		
	Sensor	7 (Landsat TM)		
几何参数设置	Month, day, decimal hour	12, 01, 2.6564		
	Longitude, latitude	118. 436, 30. 296		
	Atmospheric profile	1 Tropical		
气溶胶类型设置	Aerosol model	1 Continental		
	Optical depth at 550 nm	0. 1		
目标和传感器高度设置	Target elevation(- km a. s. l.)	-0.108		
口协作区总证问及区直	Satellite level(- km a. s. l.)	− 705		
波段设置	Band number	25(band 2),26(band 3),27(band 8)		
	Ground reflectance type	0 Homogeneous surface		
地面反射情况	Directional effects?	0 No directional effects		
	Specify surface reflectance	1 (Mean spectral value)		
信号设置	Atmospheric correction mode	0 Lambertian		
旧习风且	Reflectance or radiance	-0.3 Reflectance		

1.3 统计分析

运用 SPSS 17.0 进行数据统计分析,包括计算 平均值、最大值、最小值、绝对值、标准差、方差分 析、线性等,显著性水平用显著(P<0.05)和不显著 (P>0.05)表示. 模型系数确定采用最小二乘法非线 性拟合得到,在 Matlab 软件中完成. 引入决定系数、 平均绝对百分比误差(mean absolute percentage error, MAPE)、均方根误差(root mean square error, RMSE) 和相对误差(relative error, RE)、误差的绝对值

(absolute error, abs)、误差绝对值的最大值[MAX (abs)]和误差绝对值的最小值[MIN(abs)]作为统计 量来检验反演值和实测值是否一致的评判标准. MAPE、RMSE 和 RE 的计算式如下:

$$MAPE = \frac{\left| x_{Est,i} - x_{Obs,i} \right|}{n} \times 100\%$$
 (1)

MAPE =
$$\frac{\left|x_{\text{Est},i} - x_{\text{Obs},i}\right|}{n} \times 100\%$$
 (1)
RMSE = $\sqrt{\frac{\sum_{i=1}^{n} (x_{\text{Est},i} - x_{\text{Obs},i})^{2}}{n}}$ (2)

RE =
$$\frac{(x_{\text{Est},i} - x_{\text{Obs},i})}{x_{\text{Obs},i}} \times 100\%$$
 (3)

式中, $x_{\text{Est},i}$ 和 $x_{\text{Obs},i}$ 分别为第 i 波长处模拟值和实测值, n 是样本数.

2 结果与分析

2.1 敏感波段分析

通过对多光谱变量与总悬浮物浓度进行相关分

析,可以发现,对总悬浮物浓度信息敏感的波段是绿光波段(第3波段,波段范围:530~590 nm),其次是全色波段(第8波段,波段范围:500~680 nm)和蓝光波段(第2波段,波段范围:450~510 nm),线性相关的决定系数分别是0.51、0.42和0.37.图2给出了基于Landsat8第二、三和八波段的单波段模型以及回归分析数据,从中可以看出,单波段模型很难用于较清洁新安江水库水体TSM浓度的遥感估算.

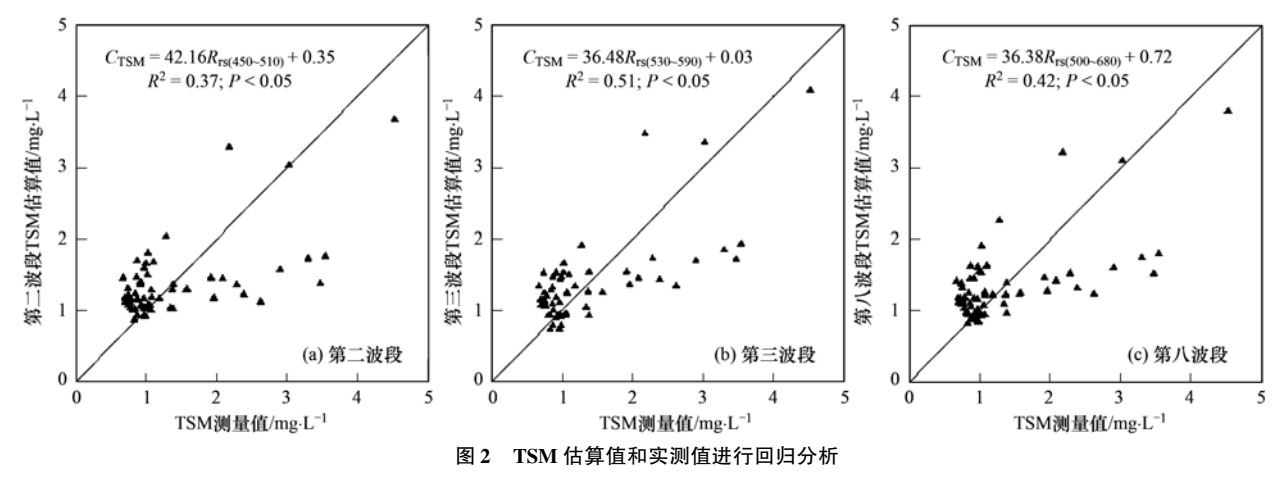


Fig. 2 Regression analysis between the estimated and measured total suspended matter concentrations ($C_{
m TSM}$)

2.2 模型的构建与验证

为了寻求总悬浮颗粒物浓度信息最敏感的遥感数据多波段变量因子,通过3种形式:Band(a)/Band(b)、a*Band(a)+b*Band(b)和a*Band(a)+b*Band(b)+c*Band(c)对Landsat8的OLI传感器的9个波段进行组合运算,组合种类分别为72、36和336种,将这些组合作为总悬浮颗粒物浓度的估算因子,并且分析这些因子与总悬浮颗粒物浓度之间的相关性.选择与总悬浮颗粒物浓度相关性好的估算因子进行回归分析并建立回归方程,这些估算因子中相关系数最大的3种组合形式分别

为: Band 3/Band 2、a*Band 2 + b*Band 8 和 a*Band 2 + b*Band 3 + c*Band 8. 图 3 给出了基于 以上 3 种估算因子构建的多波段模型以及回归分析 数据,结果表明,这 3 种模型的决定系数分别为 0.73、0.90 和 0.92.

图 4 给出了对单波段模型和多波段模型进行验证过程的回归分析数据,从中可以看出,利用验证样本对单波段(Band 3)模型验证时预测值和实测值的均方根误差 RMSE 为 0.66 mg·L⁻¹,平均绝对百分比 MAPE 为 62.30%,平均相对误差 RE 为 50.64%,误差绝对值的最大值 MAX(abs)和最小值

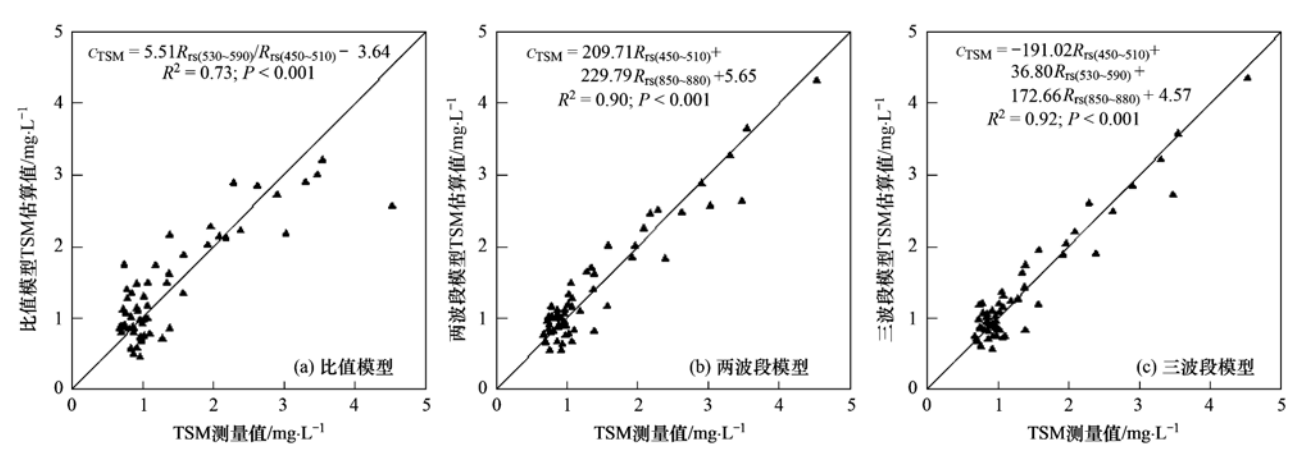


图 3 TSM 估算值和实测值的回归分析

Fig. 3 Regression analysis between the estimated $C_{\rm TSM}$ and the measured $C_{\rm TSM}$

60

MIN(abs)分别为 1. 04 mg·L⁻¹和 0. 32 mg·L⁻¹;利用验证样本对波段比值(Band 3/Band 2)模型验证时预测值和实测值的 RMSE 为 0. 19 mg·L⁻¹,MAPE 为 16. 43%,RE 为 12. 80%,MAX(abs)和 MIN(abs)分别为 0. 38 mg·L⁻¹和 0. 03 mg·L⁻¹;利用验证样本对a*Band 2+b*Band 8模型验证时预测值和实测值的 RMSE 为 0. 20 mg·L⁻¹,MAPE 为 19. 84%,RE 为 15. 40%,MAX(abs)和 MIN(abs)分别为 0. 29 mg·L⁻¹和 0. 09 mg·L⁻¹;利用验证样本对a*Band 2+b*Band 3+c*Band 8模型进行验证的

RMSE 为 0. 16 $\text{mg} \cdot \text{L}^{-1}$, MAPE 为 14. 79%, RE 为 11. 49%, MAX (abs) 和 MIN (abs) 分别为 0. 22 $\text{mg} \cdot \text{L}^{-1}$ 和 0. 07 $\text{mg} \cdot \text{L}^{-1}$. 综合考虑模型的稳定性和 实用性,选择最优的波段组合模型作为新安江水库的估算模型,构建的模型如下:

$$C_{\text{TSM}} = -191.02R_{\text{rs}(450 \sim 510)} + 36.80R_{\text{rs}(530 \sim 590)} + 172.66R_{\text{rs}(500 \sim 680)} + 4.57$$
 (4)

表 2 给出了三波段模型的每个验证点实验值和估算值的相对误差百分比情况,其中所有样点的精度均高于 80%,38%样点的精度高于 90%.

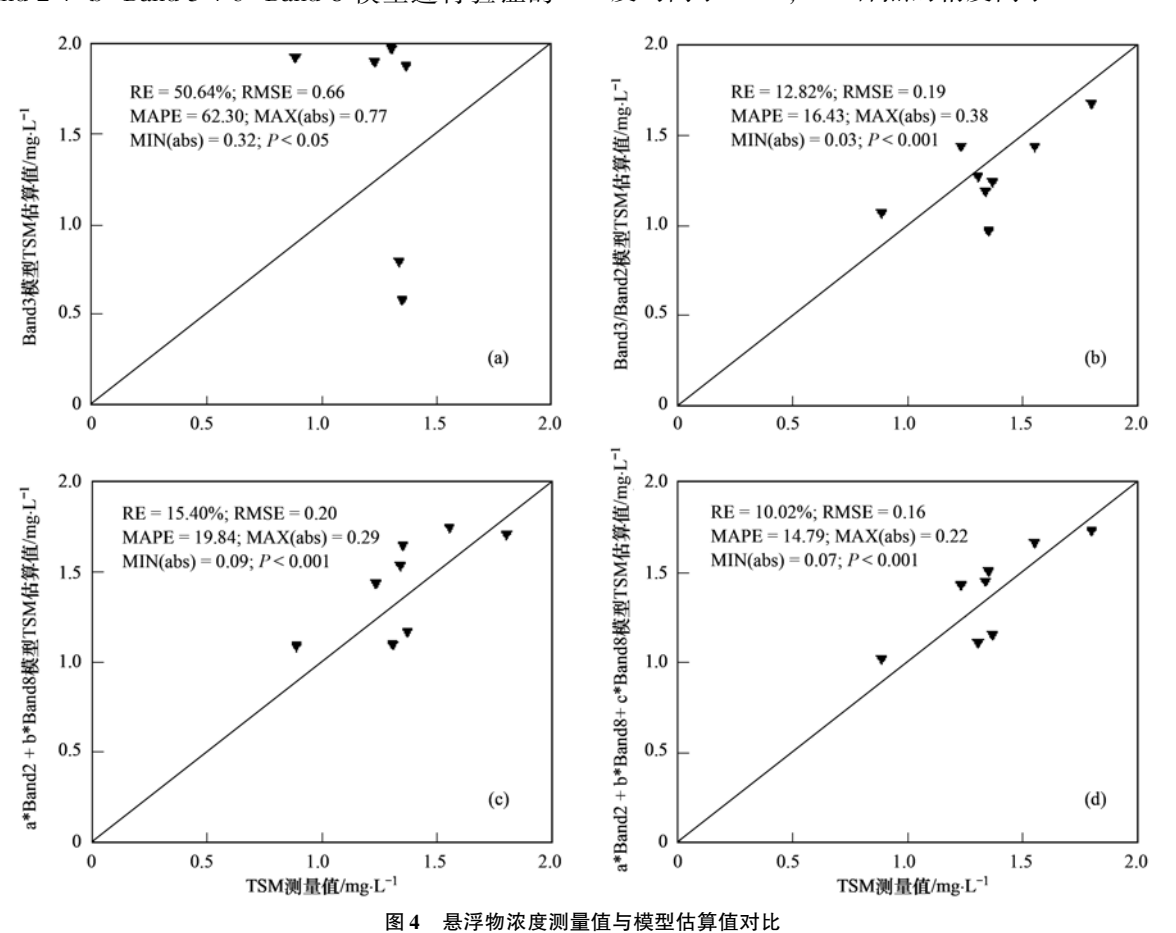


Fig. 4 Comparison between the estimated C_{TSM} and the measured C_{TSM}

表 2 估算数据和采样数据的比较1)

Table 2 Comparison between the processed result and the measured data

卫星过境时间	采样时间	站点名	C _{TSM} 估算值	$C_{ ext{TSM}}$ 测量值	相对误差/%
2013-11-15	2013-11-12	三潭岛	1.51	1. 35	11. 21
2013-11-15	2013-11-12	毛竹园	1. 34	1. 45	8. 00
2013-11-15	2013-11-12	大坝	0.89	1. 02	14. 75
2013-11-15	2013-11-12	富文	1. 37	1. 15	15. 98
2013-11-15	2013-11-12	西园	1. 55	1.66	7. 03
2013-11-15	2013-11-12	毛头尖	1. 23	1. 43	15. 67
2013-11-15	2013-11-12	航头岛	1.80	1. 73	4. 03
2013-11-15	2013-11-12	小金山	1. 31	1. 12	15. 27

¹⁾ C_{TSM} 测量值是 2013 年 11 月 12 日的采样数据的室内测量值, C_{TSM} 估算值是与此次采样时间最近的过境卫星(过境时间为 2013-11-15) 的影像通过本研究构建的三波段模型[式(4)]估算得到的 TSM 浓度,相对误差通过表达式: $\mid C_{\text{TSM}}$ 估算值 – C_{TSM} 测量值 $\mid \times 100/C_{\text{TSM}}$ 测量值计算得到

3 讨论

很多学者利用经验的方法构建了遥感估算的单 波段模型,Baban 等[30]通过分析发现 Landsat TM 影 像的第一波段(450~520 nm)对该研究区域悬浮物 浓度最为敏感,并构建了遥感影像的灰度值与悬浮 物浓度的线性关系; 许珺等[31] 运用 SPOT 数据对河 流水体悬浮固体、浓度进行研究,发现 SPOT 数据的 第1波段(500~590 nm)对水体中的悬浮固体比较 敏感,并根据影像灰度值与悬浮物之间的相关关系 对台湾淡水河的悬浮固体浓度进行了分级评价; Baban^[32]和 Eleveld 等^[33]利用 SeaWiFS 的第五波段 (545~565nm)对研究区悬浮物浓度进行了研究; Miller 等^[5]构建了 MODIS-Terra 的第一波段(620~ 670 nm) 遥感反射率和实测 TSM 浓度的线性关系, 发现该模型在估算研究区不同 TSM 浓度时具有较 好的稳定性. 基于以上学者的研究,选择与以上波 段范围相符的 Landsat 8 第二、三和八波段来构建 单波段模型,利用这些模型对新安江水库 TSM 浓度 进行估算发现,这些模型的估算值和测量值之间的 平均相对误差较大,分别为 36.67%、34.11% 和 36.01%,主要因为以上学者的研究都是针对浑浊二 类水体,并不适合新安江水库的清洁内陆水体.

Woodruff 等[34]、Zhang 等[35]和 Duan 等[36]的研 究表明,波段的组合运算和水质参数具有很好的相 关性,为了寻求总悬浮物浓度信息最敏感的遥感数 据多波段变量因子,对不同波段进行组合运算,通过 比较,波段组合模型的估算精度较单波段模型有明 显提高. Williams^[37]研究认为模型的好坏可以用决 定系数来评价,评价标准为: $R^2 \ge 0.91$ 为精准; $0.82 \le R^2 \le 0.9$ 为较好; $0.66 \le R^2 \le 0.81$ 为一般; $0.50 ≤ R^2 ≤ 0.65$ 为较差. 由三波段模型[式(4)]的 决定系数可知,该模型对本研究区域 TSM 浓度估算 效果是精确的. 同时,为了进一步评估本研究的模 型,选择 Miller 模型^[20]、Doxaran 1 和 Doxaran 2 模 型^[38]、Han 模型^[39]、Tassan 模型^[40]以及 Dekker^[23] 模型估算新安江水库 TSM 浓度. 研究发现,这些模 型的估算值和测量值之间的平均相对误差分别是 90%、107%、125%、70%、62%和114%,模型的 精度低.不能满足新安江水库中 TSM 估算精度的要 求,因此,需要一个改进的模型对该地区 TSM 浓度 进行估算. 本研究选用 Landsat 8 的第二(450~510 nm)、三(530~590 nm)和第八(500~680 nm)波段 数据来构建总悬浮物浓度的估算模型,通过这种线 性回归的方法构建的模型在某种程度上降低了大气校正误差带来的影响^[29].利用验证样本对该模型进行验证,结果表明该模型精度较高,因此可以认为,利用上述3个波段构建的模型对新安江水库总悬浮物浓度信息的估算方法是可行的.由于是经验模型,其内在机制并不清楚,并且受到样本数量的限制,本文所构建的三波段模型对于更大变化范围的TSM浓度估算是否仍然有效还需要更深入的研究.

图 5 基于三波段模型给出了新安将水库水体 TSM 浓度的时空分布,统计发现,该地区水体 TSM 平均浓度为 2.19 mg·L⁻¹,最低浓度为 0.04 mg·L⁻¹,最高浓度为 24.54 mg·L⁻¹,这些高浓度部 分位于湖的边缘区即与陆地交接处以及一些湖湾枝 杈(最高处的像元数极少,所占百分比小于 0.005%).95%以上区域的水体悬浮物浓度在10 mg·L-1以下,70% 水域悬浮物浓度在 2.0 mg·L-1以 下,20%的湖区悬浮物浓度分布在 0.8 mg·L-1 左 右. 从图 5 中可以看出新安江水库 TSM 浓度整体较 低,入湖区的悬浮物浓度明显高于其它地区,主要是 由于街口一带污染较重,加之上游枝杈流域降水带 来的悬浮物浓度较高,进入到水库后还没有完全沉 降. 而对于大墅镇、姜家镇、枫树岭镇、龙源乡和 安阳乡这些区域除了受人湖河流的影响外主要还受 河流采砂的影响[41],采砂活动对生态环境的影响巨 大,一方面采砂活动容易引起沉积泥沙的再悬浮,另 一方面采砂后的洗砂明显增加水体中悬浮物浓度,降 低水体透明度,减弱水下光环境以及一系列的生态影 响[42], 采砂活动也扰动了泥沙中的有毒物质(如硫、 氨等)、污染物等,对周围水体生物的生长造成很大 的危害. 根据 2009 年县公共资源交易中心对淳安县 千岛湖湖区部分水域采砂权拍卖公告[41]可知: 薜家 源码头以上枫树岭水域,限定开采量为3万t;毛家 码头以上汾口水域,限定开采量为10万t;东方大桥 以上威坪水域,限定开采量为4万t;游畈岛以上至 田浦以下安阳水域,限定开采量为4万t;田浦以上 大墅水域,限定开采量为4万t;溪口大桥以上临岐 水域,限定开采量为4万t. 在图5中表现为: 汾口水 域 TSM 浓度最大,平均 TSM 浓度大于 10 mg·L⁻¹;其 次是同时受薜家源码、游畈岛和田浦这3个采砂场 影响的安阳水域和大墅水域,平均 TSM 浓度为 5.0 mg·L-1;最后是东方大桥以上威坪水域和溪口大桥 以上临岐水域,其平均 TSM 浓度在 2.5 mg·L⁻¹左右. 由此可见,利用遥感技术可分析采砂对新安江水库水 体透明度影响的范围和程度,可为后续的研究和湖泊

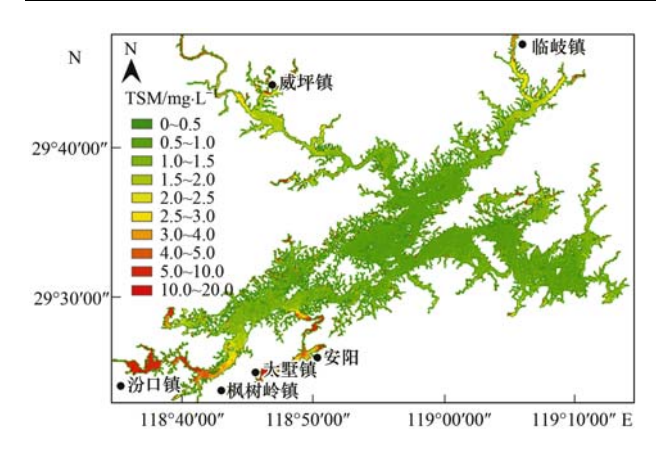


图 5 2013 年 12 月 1 日新安江水库 TSM 浓度空间分布

Fig. 5 Distribution of total suspended matter concentration in Xin'anjiang Reservoir on December 1st, 2013

的合理化管理提供科学依据.

4 结论

- (1)通过对多光谱变量与总悬浮物浓度进行相 关性分析,发现 Landsat 8 的第二、三和第八波段为 新安江水库 TSM 浓度估算的敏感波段.
- (2)针对特定研究区域(新安江水库)提出了一个 TSM 估算模型,该模型对较清洁水体而言,具有较好的效果,估算模型为:

$$C_{\text{TSM}} = -191.02 R_{\text{rs}(450 \sim 510)} + 36.80 R_{\text{rs}(530 \sim 590)} + 172.66 R_{\text{rs}(500 \sim 680)} + 4.57$$

(3)新安江水库 TSM 浓度整体较低,平均浓度为2.19 mg·L⁻¹,最低浓度为0.04 mg·L⁻¹,最高浓度为24.54 mg·L⁻¹,这些高浓度部分位于湖的边缘区以及一些湖湾枝杈位置,主要受人湖河流和水域采砂的影响,如:枫树岭水域、汾口水域、威坪水域、安阳水域、大墅水域、临岐水域等.利用遥感技术分析采砂对新安江水库水体透明度影响的范围和程度,可为后续的研究和湖泊的合理化管理提供科学依据.

致谢: 野外观测得到杭州市环境保护科学研究院的刘明亮、殷燕工程师以及淳安县环境保护监测站的吴志旭站长支持和帮助. 刘笑菡、刘刚、牛城、蒋浩等参加野外观测和室内分析,一并表示感谢.

参考文献:

- [1] Cole B E, Cloern J E. An empirical model for estimating phytoplankton productivity in estuaries [J]. Marine Ecology Progress Series, 1987, 36(1): 299-305.
- May C L, Koseff J R, Lucas L V, et al. Effects of spatial and temporal variability of turbidity on phytoplankton blooms [J].
 Marine Ecology Progress Series, 2003, 254(1): 111-128.
- [3] Zhang Y L, Wu Z X, Liu M L, et al. Thermal structure and

- response to long-term climatic changes in Lake Qiandaohu, a deep subtropical reservoir in China [J]. Limnology and Oceanography, 2014, **59**(4): 1193-1202.
- [4] Wang Y H, Deng Z D, Ma R H. Suspended solids concentration estimation in Lake Taihu using field spectra and MODIS data [J]. Acta Scientiae Circumstantiae, 2007, 27(3): 509-515.
- [5] Miller R L, McKee B A. Using MODIS Terra 250 m imagery to map concentrations of total suspended matter in coastal waters [J]. Remote sensing of Environment, 2004, 93 (1-2): 259-266.
- [6] Doerffer R, Fischer J. Concentrations of chlorophyll, suspended matter, and gelbstoff in case II waters derived from satellite coastal zone color scanner data with inverse modeling methods [J]. Journal of Geophysical Research: Oceans (1978-2012), 1994, 99 (C4): 7457-7466.
- [7] Chen K S, Kao W L, Tzeng Y C. Retrieval of surface parameters using dynamic learning neural network [J]. International Journal of Remote Sensing, 1995, 16(5): 801-809.
- [8] 李云梅, 黄家柱, 陆皖宁, 等. 基于分析模型的太湖悬浮物浓度遥感监测[J]. 海洋与湖沼, 2006, 37(2): 171-177.
- [9] Zhang Y L, Liu M L, Wang X, et al. Bio-optical properties and estimation of the optically active substances in Lake Tianmuhu in summer [J]. International Journal of Remote Sensing, 2009, 30 (11): 2837-2857.
- [10] Zhang M W, Tang J W, Dong Q, et al. Retrieval of total suspended matter concentration in the Yellow and East China Seas from MODIS imagery [J]. Remote Sensing of Environment, 2010, 114(2): 392-403.
- [11] Mao Z H, Chen J Y, Pan D L, et al. A regional remote sensing algorithm for total suspended matter in the East China Sea [J]. Remote Sensing of Environment, 2012, 124(1): 819-831.
- [12] 施坤,李云梅, 刘忠华,等. 基于半分析方法的内陆湖泊水体总悬浮物浓度遥感估算研究[J]. 环境科学, 2011, 32 (6): 1571-1580.
- [13] 刘忠华,李云梅,檀静,等.太湖、巢湖水体总悬浮物浓度 半分析反演模型构建及其适用性评价[J].环境科学,2012, 33(9):3001-3008.
- [14] Xi H Y, Zhang Y Z. Total suspended matter observation in the Pearl River estuary from in situ and MERIS data [J]. Environmental Monitoring and Assessment, 2011, 177 (1-4): 563-574.
- [15] Siswanto E, Tang J W, Yamaguchi H, et al. Empirical ocean-color algorithms to retrieve chlorophyll-a, total suspended matter, and colored dissolved organic matter absorption coefficient in the Yellow and East China Seas [J]. Journal of Oceanography, 2011, 67(5): 627-650.
- [16] 吕恒, 魏小鸿. 太湖悬浮物浓度的 MODIS 数据定量反演提取[J]. 地球信息科学, 2008, **10**(2): 151-155.
- [17] 李渊,李云梅,施坤,等.基于光谱分类的总悬浮物浓度估算[J].光谱学与光谱分析,2013,33(10):2721-2726.
- [18] 唐军武, 田国良, 汪小勇, 等. 水体光谱测量与分析 I: 水面以上测量法[J]. 遥感学报, 2004, **8**(1): 37-44.

- [19] 马荣华, 戴锦芳. 结合 Landsat ETM 与实测光谱估测太湖叶绿素及悬浮物含量[J]. 湖泊科学, 2005, **17**(2): 97-103.
- [20] 邬明权, 韩松, 赵永清, 等. 应用 Landsat TM 影像估算渤海叶绿素 a 和总悬浮物浓度[J]. 遥感信息, 2012, **27**(4): 91-95.
- [21] 温小乐, 徐涵秋. 基于多源同步数据的闽江下游悬浮物定量 遥感[J]. 环境科学, 2008, **29**(9): 2441-2447.
- [22] 管义国, 王心源, 吉文帅. 巢湖水体悬浮物的遥感分析[J]. 遥感信息, 2007, (5): 39-43.
- [23] Dekker A G, Vos R J, Peters S W M. Comparison of remote sensing data, model results and in situ data for total suspended matter(TSM) in the southern Frisian lakes [J]. Science of the Total Environment, 2001, 268(1-3): 197-214.
- [24] 韩伟明, 胡水景, 金卫, 等. 千岛湖水环境质量调查与保护对策[J]. 湖泊科学, 1996, **8**(4): 337-344.
- [25] 韩晓霞,朱广伟,吴志旭,等.新安江水库(千岛湖)水质时 空变化特征及保护策略[J].湖泊科学,2013,25(6):836-845
- [26] Zhang Y L, Shi K, Liu X H, et al. Lake topography and wind waves determining seasonal-spatial dynamics of total suspended matter in turbid lake Taihu, China: assessment using long-term high-resolution MERIS Data [J]. PloS One, 2014, 9 (5): e98055.
- [27] Vermote E F, Tanré D, Deuze J L, et al. Second simulation of the satellite signal in the solar spectrum, 6S: An overview [J]. IEEE Transactions on Geoscience and Remote Sensing, 1997, 35 (3): 675-686.
- [28] Burns P, Nolin A. Using atmospherically-corrected Landsat imagery to measure glacier area change in the Cordillera Blanca, Peru from 1987 to 2010 [J]. Remote Sensing of Environment, 2014, 140(1): 165-178.
- [29] Zhao W J, Tamura M, Takahashi H. Atmospheric and spectral corrections for estimating surface albedo from satellite data using 6S code [J]. Remote Sensing of Environment, 2001, 76(2): 202-212.
- [30] Baban S M J. Detecting water quality parameters in the Norfolk Broads, U. K., using Landsat imagery [J]. International Journal of Remote Sensing, 1993, 14(7): 1247-1267.
- [31] 许珺,方红亮,傅肃性,等. 运用 SPOT 数据进行河流水体悬浮固体浓度的研究——以台湾淡水河为例[J]. 遥感技术与应用,1999,14(4):17-22.

- [32] Baban S M J. The use of Landsat imagery to map fluvial sediment discharge into coastal waters [J]. Marine Geology, 1995, 123 (3-4): 263-270.
- [33] Eleveld M A, Pasterkamp R, van der Woerd H J, et al. Remotely sensed seasonality in the spatial distribution of seasurface suspended particulate matter in the southern North Sea [J]. Estuarine, Coastal and Shelf Science, 2008, 80(1): 103-113.
- [34] Woodruff D L, Stumpf R P, Scope J A, et al. Remote estimation of water clarity in optically complex estuarine waters [J]. Remote Sensing of Environment, 1999, 68(1): 41-52.
- [35] Zhang Y Z, Pulliainen J, Koponen S, et al. Application of an empirical neural network to surface water quality estimation in the Gulf of Finland using combined optical data and microwave data [J]. Remote Sensing of Environment, 2002, 81 (2-3): 327-336.
- [36] Duan H T, Ma R H, Zhang Y Z, et al. Remote-sensing assessment of regional inland lake water clarity in northeast China [J]. Limnology, 2009, 10(2): 135-141.
- [37] Williams P C. Implementation of near-infrared technology [A]. In: Williams P, Norris K (Eds.). Near-infrared technology in the agricultural and food industries [M]. 2nd ed. USA: American Association of Cereal Chemists, Inc., 2001.
- [38] Doxaran D, Froidefond J M, Lavender S, et al. Spectral signature of highly turbid waters: Application with SPOT data to quantify suspended particulate matter concentrations [J]. Remote Sensing of Environment, 2002, 81(1): 149-161.
- [39] Han Z, Jin Y Q, Yun C X. Suspended sediment concentrations in the Yangtze River estuary retrieved from the CMODIS data [J]. International Journal of Remote Sensing, 2006, 27 (19): 4329, 4336
- [40] Tassan S. An improved in-water algorithm for the determination of chlorophyll and suspended sediment concentration from Thematic Mapper data in coastal waters [J]. International Journal of Remote Sensing, 1993, 14(6): 1221-1229.
- [41] 淳安县公共资源交易中心. 淳安县千岛湖湖区薜家源码头以上枫树岭等水域采砂权拍卖公告[EB/OL]. http://www.cajyzx. org. cn, 2009-08-24.
- [42] 邬国锋,崔丽娟. 基于遥感技术的鄱阳湖采砂对水体透明度的影响[J]. 生态学报, 2008, **28**(12): 6113-6120.

Vol. 36 No. 1 Jan. 15, 2015

CONTENTS

Ozone Source Apportionment at Urban Area during a Typical Photochemical Pollution Episode in the Summer of 2013 in the Yangtze Pollution Characteristics and Ozone Formation Potential of Ambient VOCs in Winter and Spring in Xiamen Temporal and Spatial Characteristics of Atmospheric NO ₂ over Hainan Island and the Pollutant Sources in Recent 10 Years	XU Hui, ZHANG Han, XING Zhen-yu, et al. (11)
Composition of Organic Carbon/Elemental Carbon and Water-soluble Ions in Rice Straw Burning	
Cas Chromatography with a Pulsed Discharge Helium Ionization Detector for Measurement of Molecular Hydrogen (H2) in the Atmospherical Case Chromatography with a Pulsed Discharge Helium Ionization Detector for Measurement of Molecular Hydrogen (H2) in the Atmospherical Case Chromatography with a Pulsed Discharge Helium Ionization Detector for Measurement of Molecular Hydrogen (H2) in the Atmospherical Case Chromatography with a Pulsed Discharge Helium Ionization Detector for Measurement of Molecular Hydrogen (H2) in the Atmospherical Case Chromatography with a Pulsed Discharge Helium Ionization Detector for Measurement of Molecular Hydrogen (H2) in the Atmospherical Case Chromatography with a Pulsed Discharge Helium Ionization Detector for Measurement of Molecular Hydrogen (H2) in the Atmospherical Case Chromatography with a Pulsed Discharge Helium Ionization Detector for Measurement of Molecular Hydrogen (H2) in the Atmospherical Case Chromatography (H2) in the Atmospherica	phere ·····
Partial Pressure of CO2 and CO2 Degassing Fluxes of Huayuankou and Xiaolangdi Station Affected by Xiaolangdi Reservoir	
Distribution of Biogenic Organic Dimethylated Sulfur Compounds and Its Influencing Factors in the East China Sea in Summer	
Remote Sensing Estimation of Total Suspended Matter Concentration in Xin'anjiang Reservoir Using Landsat 8 Data	
Spatio-temporal Characteristics and Source Identification of Water Pollutants in Wenruitang River Watershed	
Effect of Hydrochemistry Characteristics Under Impact of Human Activity: A Case Study in the upper Reaches of the Xijiang River I	
Annual Variation of Different Phosphorus Forms and Response of Algae Growth in Meiliang Bay of Taihu Lake	WANG Ming, WU Xiao-fei, LI Da-peng, et al. (80)
Distribution of Transferable Nitrogen in Poyang Lake Sediments and Its Response to the Variation of River-Lake Relationship	
Effect of Environmental Factors on Macroinvertebrate Community Structure in the Huntai River Basin in the Huntai River Basin	
Effects of Outbreak and Extinction of Algal Blooms on the Microbial Community Structure in Sediments of Chaohu Lake	
Impacts of Algal Blooms Accumulation on Physiological Ecology of Water Hyacinth	
Speciation and Spatial-temporal Variation of Mercury in the Xiaolangdi Reservoir	······ CHENG Liu, MAO Yu-xiang, MA Bing-juan, et al. (121)
Spatial Distribution of Mercury in Soils of a Typical Small Agricultural Watershed in the Three Gorges Reservoir Region	WANG Ya, ZHAO Zheng, MU Zhi-jian, et al. (130)
Temporal and Spatial Variation of Mercury in Water of Agro-forestry and Livestock Compound Watershed in the Three Gorges Reserv	
	ZHAO Zheng, WANG Ya, MU Zhi-jian, et al. (136)
Effect of External Condition on the Static Migration and Release of Dibutyl-phthalate in the Soil of the Fluctuating Zone of the Three	
	SONG Jiao-yan, MU Zhi-jian, WANG Qiang, et al. (143)
Ultraviolet-Visible(UV-Vis) and Fluorescence Spectral Characteristics of Dissolved Organic Matter(DOM) in Soils of Water-Level F	luctuation Zones of the Three Gorges Reservoir Region
	GAO Jie, JIANG Tao, LI Lu-lu, et al. (151)
Characterization of Chromophoric Dissolved Organic Matter(CDOM) in Zhoushan Fishery Using Excitation-Emission Matrix Spectrosco	copy(EEMs) and Parallel Factor Analysis(PARAFAC)
Pollution Characteristics and Distribution of Polycyclic Aromatic Hydrocarbons and Organochlorine Pesticides in Groundwater at Xiao	dian Sewage Irrigation Area, Taiyuan City
Risk Assessment and Analysis of Polycyclic Aromatic Hydrocarbons in the Surface Sediments of Xinglin Bay Suburb Rivers of Xiame	n
	···· CHENG Qi-ming, HUANG Qing, LIAO Zhen-ni, et al. (179)
Comparative Analysis of Two Different Methods for Risk Assessment of Groundwater Pollution: A Case Study in Beijing Plain	······ WANG Hong-na, HE Jiang-tao, MA Wen-jie, et al. (186)
Transportation and Risk Assessment of Heavy Metal Pollution in Water-Soil from the Riparian Zone of Daye Lake, China	
Arsenic Removal by Coagulation Process and the Field Expanding Experiments for Yangzonghai Lake · · · · · · · · · · · · · · · · · · ·	
Efficient Oxidative Degradation of Tetrabromobisphenol A by Silver Bismuth Oxide	
Removal of Tetracycline by a Kind of Nano-Sized Amorphous Carbon	
Adsorption Behavior of Anionic Dyes onto Magnetic Chitosan Derivatives	ZHANG Cong-lu, HU Xiao-min, ZHAO Yan, et al. (221)
Forming Mechanism of Humic Acid-Kaolin Complexes and the Adsorption of Trichloroethylene	ZHU Xiao-jing, HE Jiang-tao, SU Si-hui (227)
Impact on the Microbial Community of Municipal Sewage in the ANAMMOX System During the Cooling Process	ZHAO Zhi-rui, MIAO Zhi-jia, LI Duo, et al. (237)
Application of FISH-NanoSIMS Technique in Environmental Microbial Ecology Study	CHEN Chen, BAI Yao-hui, LIANG Jin-song, et al. (244)
Influence of Microcystin-LR on Cell Viability and Surface Characteristics of Pseudomonas putida	
Screening, Combination of Microbial Deodorizer and the Optimization of Its Deodorizing Conditions	
Distribution and Enrichment Characteristics of Organochlorine Pesticides in Water and Halobios from Qingbang Island in Zhoushan, C	
	····· ZHANG Ze-zhou, XING Xin-li, GU Yan-sheng, et al. (266)
Levels of Polychlorinated Biphenyls in Tibetan and Yi Adolescents' Hair from Liangshan Prefecture, Sichuan Province	
Effects of Single and Co-Exposure of Cu and Chlorpyrifos on the Toxicity of Earthworm	
Effect of Exogenous Selenium on Accumulation and Chemical Forms of Cadmium in Cucumber(Cucumis satisus L.)	
Pollution Characteristics of Platinum Group Elements in Road Rust in Xiamen	
Spatial Distribution of Se in Soils from Different Land Use Types and Its Influencing Factors Within the Yanghe Watershed, China ·	
Immobilization Impact of Different Fixatives on Heavy Metals Contaminated Soil	
Form Tendency and Bio-availability Dynamics of Cu and Zn in Different Farm Soils After Application of Organic Fertilizer of Liveston	CHANC Having II V 7HANC To and 1 / 214
Analysis of Composition Characteristics of Municipal Solid Waste in South China	
· · · ·	0. 0
Sewage Sludge Conditioning by Bioleaching Combined with Fenton-like Oxidation	
Applicability of Bisphenol A Detection by a Planar Waveguide Fluorescent Biosensor	
A New "Turn-on" Fluorescent Probe for Visual Detection of Hydrogen Sulfide	
Analysis of Sap Flow Characteristics of the Chinese Pine in Typical Loess Plateau Region of China	
Simultaneous Production of Hydrogen and Volatile Fatty Acid from Macrocystis pyrifera	
Behaviors of Engineered Nanoparticles in Aquatic Environments and Impacts on Marine Phytoplankton	······ LI Man-lu - HAN(; Yue-lu (365)

《环境科学》第6届编辑委员会

主 编:欧阳自远

副主编: 赵景柱 郝吉明 田 刚

编 委: (按姓氏笔画排序)

万国江 王华聪 王凯军 王绪绪 田 刚 田 静 史培军

朱永官 刘志培 汤鸿霄 陈吉宁 孟 伟 周宗灿 林金明

欧阳自远 赵景柱 姜 林 郝郑平 郝吉明 聂永丰 黄 霞

黄耀 鲍强潘纲潘涛魏复盛

环维种草

(HUANJING KEXUE)

(月刊 1976年8月创刊) 2015年1月15日 第36卷 第1期

ENVIRONMENTAL SCIENCE

(Monthly Started in 1976)

Vol. 36 No. 1 Jan. 15, 2015

				_	
主	管	中国科学院	Superintended	by	Chinese Academy of Sciences
主	办	中国科学院生态环境研究中心	Sponsored	by	Research Center for Eco-Environmental Sciences, Chinese
协	办	(以参加先后为序)			Academy of Sciences
		北京市环境保护科学研究院	Co-Sponsored	by	Beijing Municipal Research Institute of Environmental
		清华大学环境学院			Protection
主	编	欧阳自远			School of Environment, Tsinghua University
_	辑	《环境科学》编辑委员会	Editor-in -Chief		OUYANG Zi-yuan
<i>5</i> 1⊞	74	北京市 2871 信箱(海淀区双清路	Edited	by	The Editorial Board of Environmental Science (HUANJING
					KEXUE)
		18号,邮政编码:100085)			P. O. Box 2871, Beijing 100085, China
		电话:010-62941102,010-62849343 传真:010-62849343			Tel:010-62941102,010-62849343; Fax:010-62849343
		,,,,,,			E-mail; hjkx@ rcees. ac. cn
		E-mail; hjkx@ reees. ac. cn			http://www.hjkx.ac.cn
ılı	uc	http://www. hjkx. ac. cn	Published	by	Science Press
出	版	斜 学 虫 从 社		,	16 Donghuangchenggen North Street,
		北京东黄城根北街 16 号			Beijing 100717, China
בו ביו א+	٠-	邮政编码:100717	Printed	by	Beijing Bei Lin Printing House
印刷装		北京北林印刷厂	Distributed	by	Science Press
发	行	4 学 出 展 社	Distributed	Dy	Tel:010-64017032
		电话:010-64017032			•
ᅩ	4 L	E-mail: journal@ mail. sciencep. com	Domestic		E-mail:journal@ mail. sciencep. com
	处	全国各地邮电局			All Local Post Offices in China
国外总发	.1丁	中国国际图书贸易总公司	Foreign		China International Book Trading Corporation (Guoji
		(北京 399 信箱)			Shudian), P. O. Box 399, Beijing 100044, China

中国标准刊号: ISSN 0250-3301 CN 11-1895/X

国内邮发代号: 2-821

国内定价:120.00元

国外发行代号: M 205

国内外公开发行